

รายการอ้างอิง

- Cao H., Reinhorn A.M. and Soong T. T. Design of an active mass damper for a tall TV tower in Nanjing, China. **Engineering Structures** (1997): 134-143.
- Carlson J.D. and Spencer Jr. B.F. Magneto-rheological fluid dampers for semi-active seismic control. **Proceedings of the 3rd International Conference on Motion and Vibration Control** Chiba, Japan. Vol. III, (1996): 35-40.
- Chang C.C. Control of buildings using active tuned mass dampers. **Journal of Engineering Mechanics ASCE** (1993): 355-366.
- Den Hartog, J.P. **Mechanical Vibrations** 4th edition. NY : McGraw-Hill, 1956.
- Hart G. and Wong K. **Structural Dynamics for Structural Engineers**. (n.p.) : John Wiley & Sons, 1999.
- Hrovat D., Barak P. and Rabins M. Semi-active versus passive or active tuned mass dampers for structural control. **Journal of Engineering Mechanics ASCE** (1983): 691-705.
- Leonard M. **Dynamics and Control of Structures**. (n.p.) : John Wiley & Sons, 1990.
- Lin C.C., Hu C.M., Wang J.F., and Hu R.Y. Vibration control effectiveness of passive tuned mass dampers. **Journal of the Chinese Institute of Engineers** (1994): 367-376.
- Pinkaew T. and Fujino Y. Effectiveness of semi-active tuned mass dampers under harmonic excitation. **Engineering Structures** (2001): 850-856.
- Samali B., Kwok K. and Focioni R. A Wind Tunnel Comparison of Active and Passive Tune Mass Damper in Controlling Wind-Induced Vibration of Tall Buildings. **Movic'98, The Fourth International Conference on Motion and Vibration Control** August 25-28, 1998, ETH Zurich, Switzerland, 1998.
- Soong T.T. and Dargush G.F. **Passive energy dissipation systems in structural engineering**. UK : John Wiley & Sons, 1997.
- Wu J. C., Yang J. N. and Schmitendorf W. E. Reduced-order H_∞ and LQR control for wind-excited tall buildings. **Engineering Structures** Vol. 20, No.3, (1998): 222-236
- Yang J.N., Agrawal A.K, Samali B. and Wu J.C. **A Benchmark Problem For Response Control of Wind-Excited Tall Buildings** 2000.



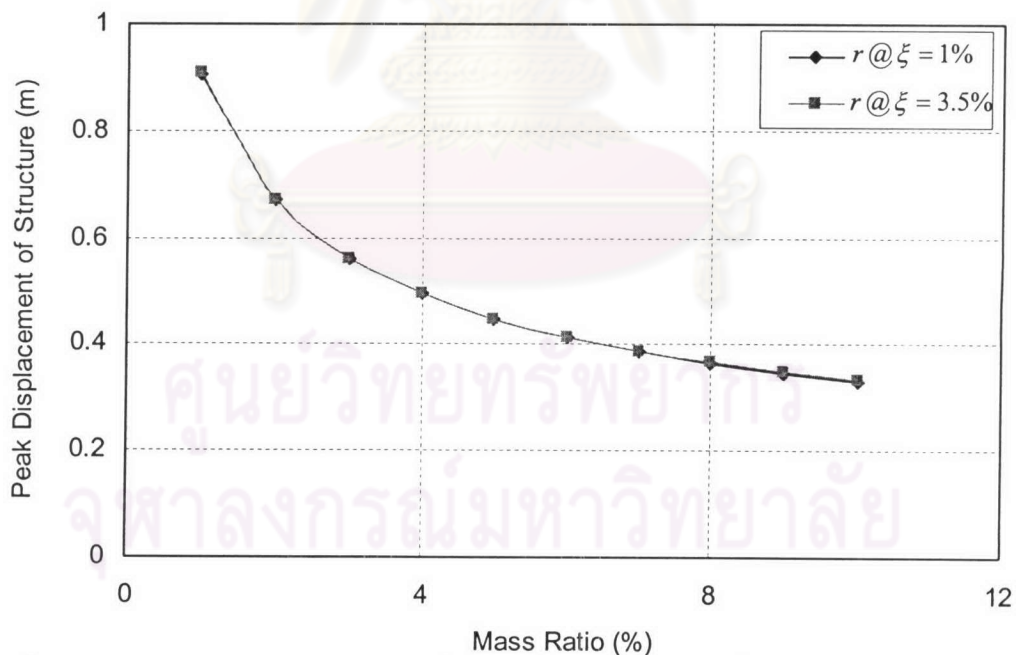
ภาคผนวก

ศูนย์วิทยทรัพยากร
จุฬาลงกรณ์มหาวิทยาลัย

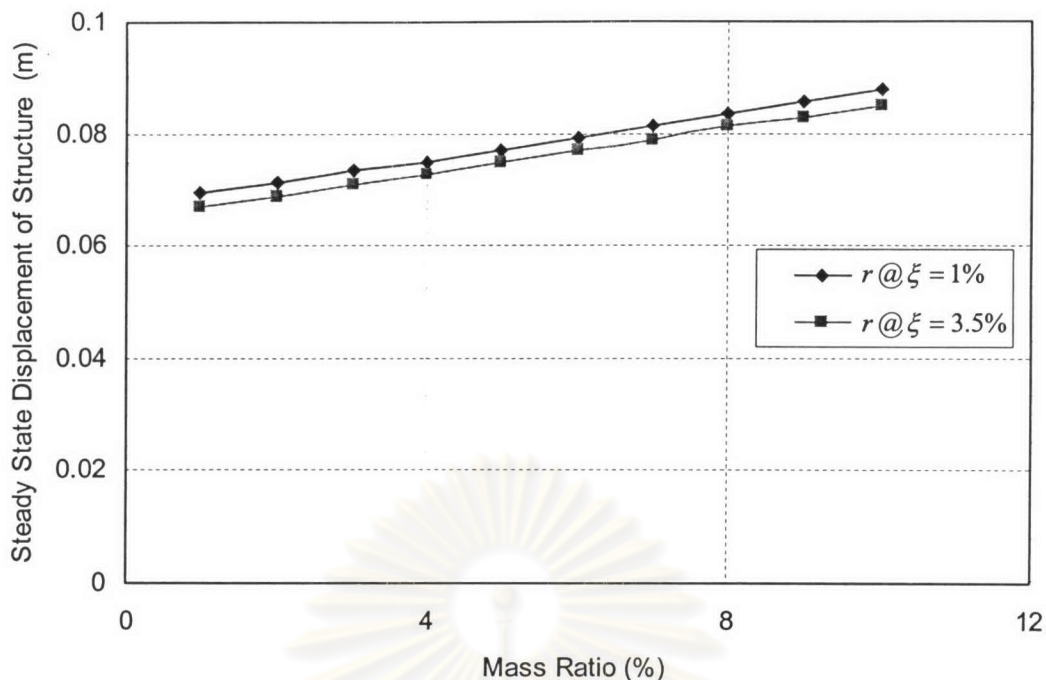
ภาคผนวก ก

การตรวจสอบความเหมาะสมในการใช้ค่าเมตริกซ์น้ำหนักสำหรับพลังงานที่ใช้ควบคุมการสั่นไหวที่ออกแบบจากโครงสร้างที่มีค่าอัตราส่วนความหน่วงเท่ากับ 3.5 เปอร์เซ็นต์

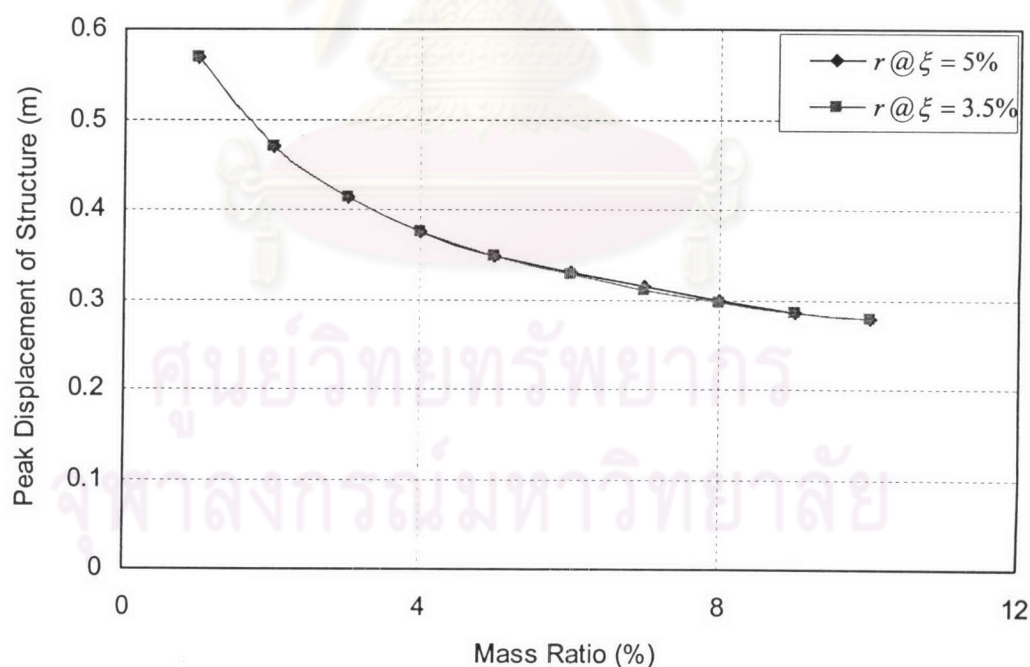
ในการวิจัยนี้ ได้ทำการออกแบบหาค่าเมตริกซ์น้ำหนักสำหรับพลังงานที่ใช้ควบคุมการสั่นไหว (เมตริกซ์ r) ที่ใช้วิเคราะห์หาผลตอบสนองของโครงสร้างในกรณีที่ทำการติดตั้งระบบมวลหน่วงปรับค่าแบบเซมิแอกทีฟ โดยสมมติให้โครงสร้างมีค่าอัตราส่วนความหน่วงเท่ากับ 3.5 เปอร์เซ็นต์ แล้วนำค่าเมตริกซ์น้ำหนักที่ได้ดังกล่าว ไปใช้กับทุก ๆ ค่าอัตราส่วนความหน่วงของโครงสร้างที่ทำการพิจารณา ด้วยเหตุผลที่ว่า ไม่สามารถทราบค่าอัตราส่วนความหน่วงของโครงสร้างที่แน่นอนได้ ดังนั้นในส่วนนี้จึงทำการตรวจสอบความเหมาะสมของค่าเมตริกซ์น้ำหนักที่ใช้นั้น โดยการเปรียบเทียบผลตอบสนองของโครงสร้างที่ใช้เมตริกซ์น้ำหนักที่ออกแบบที่โครงสร้างมีค่าอัตราส่วนความหน่วงเท่ากับ 3.5 เปอร์เซ็นต์ กับการใช้เมตริกซ์น้ำหนักที่ออกแบบที่ค่าอัตราส่วนความหน่วงของโครงสร้างนั้น ๆ ซึ่งในที่นี้จะทำการพิจารณาโครงสร้างที่มีค่าอัตราส่วนความหน่วงเท่ากับ 1 เปอร์เซ็นต์ และ 5 เปอร์เซ็นต์ ในกรณีที่รับแรงกระทำที่เป็นแบบฮาร์โมนิกที่มีความถี่เท่ากับความถี่หลักของโครงสร้าง ดังรูปที่ ก.1 ถึง ก.4



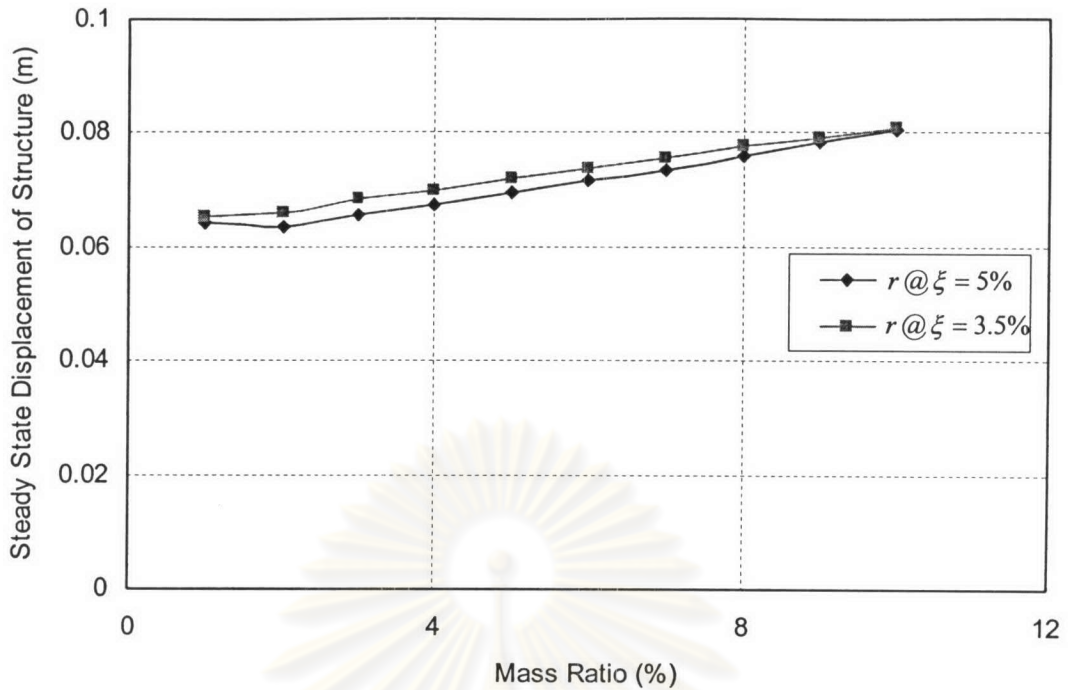
รูปที่ ก.1 กราฟเปรียบเทียบระยะการเคลื่อนที่สูงสุดของโครงสร้างที่มีค่าอัตราส่วนความหน่วงเท่ากับ 1 เปอร์เซ็นต์ที่ได้จากการใช้ค่าเมตริกซ์น้ำหนักสำหรับพลังงานที่ใช้ควบคุมการสั่นไหวที่ทำการออกแบบที่ค่าอัตราส่วนความหน่วงของโครงสร้างเท่ากับ 1 เปอร์เซ็นต์ และ 3.5 เปอร์เซ็นต์ ในแต่ละค่าอัตราส่วนของมวลหน่วงต่อมวลของโครงสร้าง ($\Omega = \omega_r$)



รูปที่ ก.2 กราฟเปรียบเทียบระยะการเคลื่อนที่ในช่วงคงตัวของโครงสร้างที่มีค่าอัตราส่วนความหน่วงเท่ากับ 1 เปอร์เซนต์ที่ได้จากการใช้ค่าเมตริกซ์น้ำหนักสำหรับพลังงานที่ใช้ควบคุมการสั่นไหวที่ทำการออกแบบที่ค่าอัตราส่วนความหน่วงของโครงสร้างเท่ากับ 1 เปอร์เซนต์ และ 3.5 เปอร์เซนต์ ในแต่ละค่าอัตราส่วนของมวลหน่วงต่อมวลของโครงสร้าง ($\Omega = \omega_s$)



รูปที่ ก.3 กราฟเปรียบเทียบระยะการเคลื่อนที่สูงสุดของโครงสร้างที่มีค่าอัตราส่วนความหน่วงเท่ากับ 5 เปอร์เซนต์ที่ได้จากการใช้ค่าเมตริกซ์น้ำหนักสำหรับพลังงานที่ใช้ควบคุมการสั่นไหวที่ทำการออกแบบที่ค่าอัตราส่วนความหน่วงของโครงสร้างเท่ากับ 5 เปอร์เซนต์ และ 3.5 เปอร์เซนต์ ในแต่ละค่าอัตราส่วนของมวลหน่วงต่อมวลของโครงสร้าง ($\Omega = \omega_s$)



รูปที่ ก.4 กราฟเปรียบเทียบระยะการเคลื่อนที่ในช่วงคงตัวของโครงสร้างที่มีค่าอัตราส่วนความหน่วงเท่ากับ 5 เปอร์เซ็นต์ที่ได้จากการใช้ค่าเมตริกซ์น้ำหนักสำหรับพลังงานที่ใช้ควบคุมการสั่นไหวที่ทำการออกแบบที่ค่าอัตราส่วนความหน่วงของโครงสร้างเท่ากับ 5 เปอร์เซ็นต์ และ 3.5 เปอร์เซ็นต์ ในแต่ละค่าอัตราส่วนของมวลหน่วงต่อมวลของโครงสร้าง ($\Omega = \omega_s$)

จากกราฟจะเห็นได้ว่า ระยะการเคลื่อนที่สูงสุดของโครงสร้างที่ได้จากการใช้เมตริกซ์น้ำหนักที่ออกแบบที่โครงสร้างมีค่าอัตราส่วนความหน่วงเท่ากับ 3.5 เปอร์เซ็นต์ กับการใช้เมตริกซ์น้ำหนักที่ออกแบบที่ค่าอัตราส่วนความหน่วงของโครงสร้างนั้น ๆ แทบจะไม่แตกต่างกัน แต่ระยะการเคลื่อนที่ในช่วงคงตัว จะมีความแตกต่างกันบ้างเล็กน้อย ดังนั้นการใช้เมตริกซ์น้ำหนักสำหรับพลังงานที่ใช้ควบคุมการสั่นไหวที่ออกแบบที่โครงสร้างมีค่าอัตราส่วนความหน่วงเท่ากับ 3.5 เปอร์เซ็นต์ มาทำการวิเคราะห์โครงสร้างที่มีค่าอัตราส่วนความหน่วงในช่วง 1 เปอร์เซ็นต์ ถึง 5 เปอร์เซ็นต์ แทนนั้น ผลตอบสนองที่ได้ก็แตกต่างไม่มากนักจากการใช้ค่าเมตริกซ์น้ำหนักที่ทำการออกแบบที่ค่าอัตราส่วนความหน่วงของโครงสร้างเอง

เพื่อให้เห็นความแตกต่างของผลตอบสนองที่กล่าวมาได้ชัดเจนยิ่งขึ้น จึงได้ทำตารางแสดงเปอร์เซ็นต์ความแตกต่างของระยะการเคลื่อนที่ที่ได้จากการใช้เมตริกซ์น้ำหนักที่ทำการออกแบบจากโครงสร้างที่มีค่าอัตราส่วนความหน่วงเท่ากับ 3.5 เปอร์เซ็นต์ เทียบกับระยะการเคลื่อนที่ที่ได้จากการใช้ค่าเมตริกซ์น้ำหนักที่ทำการออกแบบที่ค่าอัตราส่วนความหน่วงของโครงสร้างเอง ดังตารางที่ ก.1

Mass Ratio (%)	Percentage of Difference (%)			
	Peak		Steady State	
	$\xi = 1\%$	$\xi = 5\%$	$\xi = 1\%$	$\xi = 5\%$
1	0.3953	0	3.3444	1.6592
2	0	0.1396	3.3886	3.5531
3	0.0896	0.1358	3.1308	4.1458
4	0.0077	0.2258	3.0126	3.9058
5	0.0077	0.0966	2.5519	3.4581
6	0.0027	0.802	2.7962	3.2155
7	0.0218	1.0809	2.9597	2.8007
8	0.4264	0.8502	2.5155	2.3936
9	1.8449	0.3545	3.4147	0.7414
10	1.689	0.0025	3.3218	0.379

ตารางที่ ก.1 ตารางค่าเปอร์เซ็นต์ความแตกต่างของระยะการเคลื่อนที่ที่ได้จากการใช้เมตริกซ์
 น้ำหนักที่ทำการออกแบบจากโครงสร้างที่มีค่าอัตราส่วนความหน่วงเท่ากับ 3.5 เปอร์เซ็นต์เทียบกับ
 กับการเคลื่อนที่ที่ได้จากการใช้ค่าเมตริกซ์น้ำหนักที่ทำการออกแบบที่ค่าอัตราส่วน
 ความหน่วงของโครงสร้างเอง ($\Omega = \omega_s$)

ศูนย์วิทยทรัพยากร
 จุฬาลงกรณ์มหาวิทยาลัย

ภาคผนวก ข

**การสร้างเมตริกซ์นำหน้าของการตอบสนองของโครงสร้างที่ใช้ในการวิเคราะห์
ผลตอบสนองของโครงสร้างแบบหลายระดับชั้นความเสรี**

เนื่องจากเมตริกซ์นำหน้าของการตอบสนองของโครงสร้าง (เมตริกซ์ Q) เป็นเมตริกซ์ที่ให้ค่าพลังงานที่เกิดขึ้นในโครงสร้างหลักซึ่งรวมพลังงานจลน์และพลังงานศักย์ไว้ในสมการดัดชั้นสมรรถนะ (สมการที่ (2.13)) ซึ่งอาคารสูง 76 ชั้น ที่ทำการพิจารณานั้น ถูกจำลองเป็น 76 ระดับชั้นความเสรี ซึ่งทำให้เมตริกซ์ของมวล สติฟเนส มีขนาดเท่ากับ 76×76 ดังนั้นเมตริกซ์นำหน้าของการตอบสนองของโครงสร้าง จึงมีขนาด 152×152 เช่นกัน แต่การศึกษาในงานวิจัยนี้ได้ทำการใช้วิธีการลดลำดับของแบบจำลอง เข้ามาช่วยในการคำนวณ เพื่อลดเวลาที่ใช้ในการคำนวณ โดยลดจาก 76 ระดับชั้นความเสรี ให้เหลือเพียง 23 ระดับชั้นความเสรี ดังนั้นเพื่อให้สามารถคงพลังงานที่เกิดขึ้นในโครงสร้างหลักซึ่งรวมพลังงานจลน์และพลังงานศักย์ที่ได้จากใช้วิธีการลดลำดับของแบบจำลองซึ่งเมตริกซ์นำหน้าของการตอบสนองของโครงสร้างในวิธีนี้มีขนาด 46×46 ให้เท่ากับพลังงานที่เกิดขึ้นในโครงสร้างหลักซึ่งรวมพลังงานจลน์และพลังงานศักย์ที่ได้จากระบบที่เป็น 76 ระดับชั้นความเสรี จึงต้องทำการสร้างเมตริกซ์นำหน้าของการตอบสนองของโครงสร้างที่มีขนาด 46×46 โดยวิธีดังต่อไปนี้

พิจารณาสมการพลังงานของทุกโหมดการสั่นไหวของโครงสร้างในสมการที่ (ข.1)

$$E^* = 1/2 \mathbf{x}^T \mathbf{K}^* \mathbf{x} + \mathbf{y}^T \mathbf{M}^* \mathbf{y} \quad (\text{ข.1})$$

โดยที่ E^* = พลังงานของทุกโหมดการสั่นไหวของโครงสร้าง

\mathbf{K}^* = เมตริกซ์สติฟเนสเชิงโหมดของโครงสร้าง (76×76)

= $\phi^T \mathbf{K} \phi$ โดยที่ \mathbf{K} = เมตริกซ์สติฟเนสของโครงสร้าง (76×76)

\mathbf{M}^* = เมตริกซ์มวลเชิงโหมดของโครงสร้าง (76×76)

= $\phi^T \mathbf{M} \phi$ โดยที่ \mathbf{M} = เมตริกซ์มวลของโครงสร้าง (76×76)

ϕ = เวกเตอร์รูปร่างเชิงโหมดของโครงสร้าง (76×76)

\mathbf{y} = เวกเตอร์พิกัดเชิงโหมดของระยะการเคลื่อนที่ (76×1)

= $\phi^{-1} \mathbf{x}$

\mathbf{x} = เวกเตอร์ของระยะการเคลื่อนที่ (76×1)

เนื่องจากโหมดการสั่นไหวโหมดแรก ๆ มีผลต่อการสั่นไหวมากที่สุด และค่อย ๆ ลดลงตามโหมดที่เพิ่มขึ้น ดังนั้นสมการพลังงานของ 23 โหมดการสั่นไหวแรกของโครงสร้าง จึงมีค่าใกล้เคียงกับสมการพลังงานของทุกโหมดการสั่นไหวของโครงสร้าง ซึ่งสมการพลังงานของ 23 โหมดการสั่น

โหนดแรกของโครงสร้างที่กล่าวมานั้น จะนำมาใช้ในสมการดัชนีสมรรถนะของการวิเคราะห์ผลตอบสนองของโครงสร้างที่มี 23 ระดับชั้นความเสรี

สมการพลังงานของ 23 โหนดการสั่นโหนดแรกของโครงสร้างสามารถเขียนได้ในลักษณะเดียวกับสมการพลังงานของทุกโหนดการสั่นโหนดแรกของโครงสร้าง ดังสมการที่ (ข.2)

$$\begin{aligned} E_c^* &= 1/2 x (y_c^T K_c^* y_c + y_c^T M_c^* \dot{y}_c) \\ &= 1/2 x \begin{bmatrix} y_c^T & \dot{y}_c^T \end{bmatrix} \begin{bmatrix} K_c^* & 0 \\ 0 & M_c^* \end{bmatrix} \begin{bmatrix} y_c \\ \dot{y}_c \end{bmatrix} \end{aligned} \quad (\text{ข.2})$$

โดยที่ E_c^* = พลังงานของ 23 โหนดการสั่นโหนดแรกของโครงสร้าง

K_c^* = เมตริกซ์สติฟเนสเชิงโหนดของโครงสร้าง 23 โหนดแรก (23x23)

M_c^* = เมตริกซ์มวลเชิงโหนดของโครงสร้าง 23 โหนดแรก (23x23)

y_c = เวกเตอร์พิกัดเชิงโหนดของระยะการเคลื่อนที่ 23 โหนดแรก (23x1) ซึ่งหาได้จากสมการที่ (ข.3)

$$x = \phi y \quad (\text{ข.3})$$

จากสมการที่ (ข.3) ทำการจัดรูปการแบ่งส่วนภายในของเมตริกซ์ใหม่ ได้ดังสมการที่ (ข.4)

$$\begin{bmatrix} x_c \\ x_r \end{bmatrix} = \begin{bmatrix} \phi_c & \phi_c \\ \phi_{rc} & \phi_r \end{bmatrix} \begin{bmatrix} y_c \\ y_r \end{bmatrix} \quad (\text{ข.4})$$

โดยที่ สับสคริปต์ c แสดงถึงตัวแปรที่เกี่ยวข้องกับชั้นของอาคารและโหนดของการสั่นโหนดแรกของโครงสร้างที่ทำการเลือก

สับสคริปต์ r แสดงถึงตัวแปรที่เกี่ยวข้องกับชั้นของอาคารและโหนดของการสั่นโหนดแรกของโครงสร้างที่ไม่ได้ทำการเลือก

ทำการพิจารณาผลจาก 23 โหนดแรก ดังนั้นเวกเตอร์ระยะการเคลื่อนที่ของโครงสร้างที่ชั้นที่ทำการเลือกนั้นจะมีค่าดังสมการที่ (ข.5)

$$x_c \approx \phi_c y_c \quad (\text{ข.5})$$

จากสมการที่ (ข.5) สามารถหาค่า y_c และ \dot{y}_c ได้ดังสมการที่ (ข.6) และ (ข.7)

$$y_c \approx \phi_c^{-1} x_c \quad (\text{ข.6})$$

$$\dot{y}_c \approx \phi_c^{-1} \dot{x}_c \quad (\text{ข.7})$$

นำสมการที่ (ข.6) และ (ข.7) ไปแทนลงในสมการที่ (ข.2) แล้วทำการจัดรูปตามขั้นตอนที่แสดงข้างล่าง เพื่อหาค่าเมตริกซ์น้ำหนักของการตอบสนองของโครงสร้างที่ใช้ในการวิเคราะห์ผลตอบสนองของโครงสร้างสำหรับ 23 ระดับชั้นความเสรี (เมตริกซ์ Q_c)

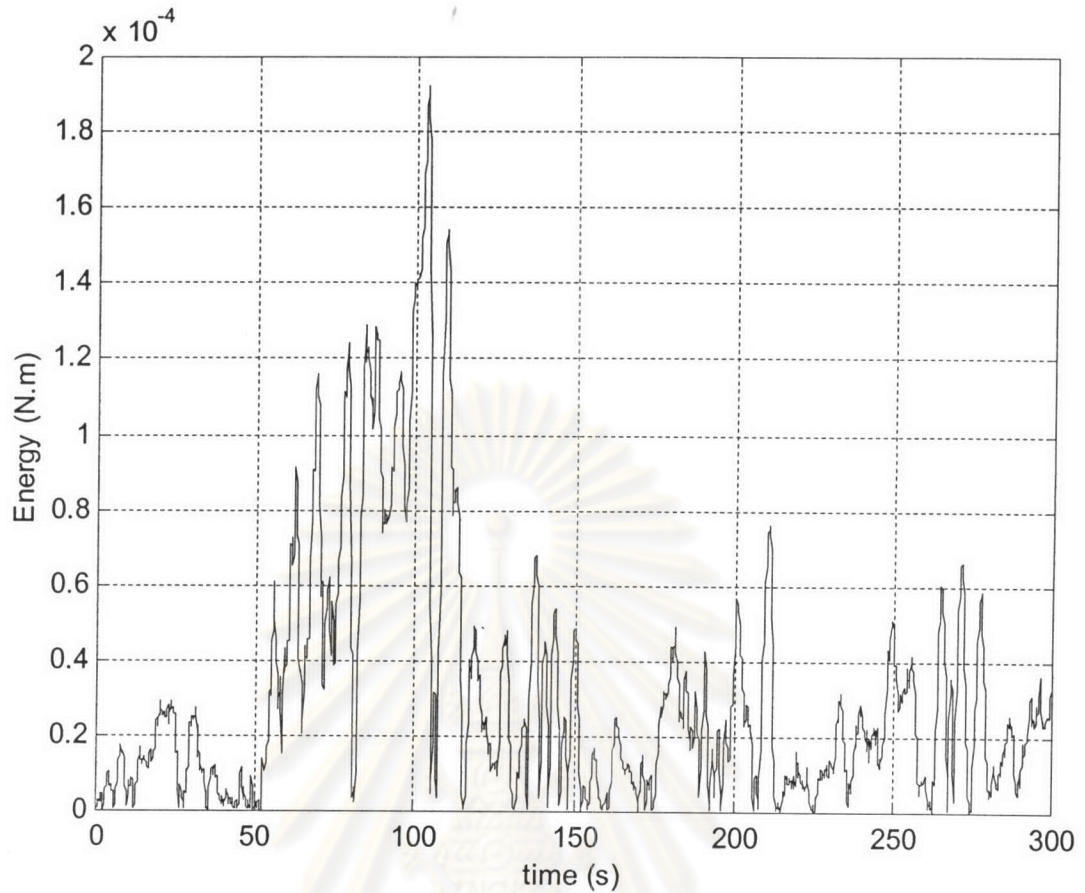
$$\begin{aligned}
E_c^* &= 1/2 \times [(\phi_c^{-1} x_c)^T \quad (\phi_c^{-1} \dot{x}_c)^T] \begin{bmatrix} K_c^* & 0 \\ 0 & M_c^* \end{bmatrix} \begin{bmatrix} \phi_c^{-1} x_c \\ \phi_c^{-1} \dot{x}_c \end{bmatrix} \\
&= 1/2 \times [x_c^T \phi_c^{-1T} \quad \dot{x}_c^T \phi_c^{-1T}] \begin{bmatrix} K_c^* & 0 \\ 0 & M_c^* \end{bmatrix} \begin{bmatrix} \phi_c^{-1} x_c \\ \phi_c^{-1} \dot{x}_c \end{bmatrix} \\
&= 1/2 \times [x_c^T \quad \dot{x}_c^T] \begin{bmatrix} \phi_c^{-1T} K_c^* \phi_c^{-1} & 0 \\ 0 & \phi_c^{-1T} M_c^* \phi_c^{-1} \end{bmatrix} \begin{bmatrix} x_c \\ \dot{x}_c \end{bmatrix} \\
&= Z_c^T \times 1/2 \times \begin{bmatrix} \phi_c^{-1T} K_c^* \phi_c^{-1} & 0 \\ 0 & \phi_c^{-1T} M_c^* \phi_c^{-1} \end{bmatrix} Z_c \\
&= Z_c^T Q_c Z_c \tag{ข.8}
\end{aligned}$$

$$\therefore Q_c = 1/2 \times \begin{bmatrix} \phi_c^{-1T} K_c^* \phi_c^{-1} & 0 \\ 0 & \phi_c^{-1T} M_c^* \phi_c^{-1} \end{bmatrix} \tag{ข.9}$$

เมตริกซ์ Q_c ในสมการ (ข.9) นั้นมีขนาดเท่ากับ 46×46 เป็นเมตริกซ์นำหนักที่ใช้ในการวิเคราะห์ผลตอบสนองของโครงสร้างสำหรับ 23 ระดับชั้นความเร็ว แต่เมื่อทำการติดตั้งระบบมวลห้วงเข้าสู่โครงสร้าง จะทำให้โครงสร้างมี 24 ระดับชั้นความเร็ว แต่เมตริกซ์ Q_c ที่ใช้ก็ยังมีลักษณะคล้ายคลึงเดิม เนื่องจากเป็นเมตริกซ์ที่ให้ค่าพลังงานที่เกิดขึ้นในโครงสร้างหลักซึ่งรวมพลังงานจลน์และพลังงานศักย์ โดยไม่รวมถึงพลังงานที่เกิดขึ้นกับระบบมวลห้วง แต่ขนาดของเมตริกซ์มีขนาดเปลี่ยนไปจาก 46×46 เป็น 48×48 ซึ่งอีลิเมนต์ของเมตริกซ์ Q_c ใหม่ซึ่งเพิ่มขึ้นจากเดิมและเกี่ยวข้องกับระบบมวลห้วงมีค่าเท่ากับ 0 ทุก ๆ อีลิเมนต์ เนื่องจากไม่สนใจพลังงานที่เกิดขึ้นกับระบบมวลห้วงนั่นเอง

เพื่อทดสอบความถูกต้องของการสร้างเมตริกซ์นำหนักของการตอบสนองของโครงสร้างที่ใช้ในการวิเคราะห์ผลตอบสนองของโครงสร้างที่ทำการลดลำดับของแบบจำลองและทำการติดตั้งระบบมวลห้วงปรับค่าแบบพาสซีฟ จึงทำการเปรียบเทียบพลังงานที่ได้จากการวิเคราะห์โครงสร้างแบบ 76 ระดับชั้นความเร็ว ที่ติดตั้งระบบมวลห้วง กับพลังงานที่ได้จากการวิเคราะห์โครงสร้างที่ทำการลดลำดับของแบบจำลองให้เหลือ 23 ระดับชั้นความเร็ว ที่ติดตั้งระบบมวลห้วง ซึ่งแสดงค่าความแตกต่างของพลังงานในทุก ๆ ช่วงเวลา เมื่อโครงสร้างรับแรงลมที่ได้จากเพิ่มข้อมูลของการทดลองในอุโมงค์ลม ดังรูปที่ ข.1

จากกราฟดังกล่าว จะเห็นได้ว่า พลังงานที่ได้จากการวิเคราะห์ทั้งสองระบบ นั้นมีค่าความแตกต่างน้อยมาก โดยมีค่าความแตกต่างมากที่สุด ประมาณ 2×10^{-4} นิวตันเมตร แสดงว่าผลของโหมดการสั่นไหวที่นอกเหนือจาก 23 โหมดแรก มีผลน้อยมาก



รูปที่ ข.1 กราฟแสดงค่าความแตกต่างของพลังงานในทุก ๆ ช่วงเวลา เมื่อโครงสร้างรับแรงลมที่ได้ จากเพิ่มข้อมูลของการทดลองในอุโมงค์ลมของการวิเคราะห์โครงสร้างทั้งสองระบบ ในกรณีทำ การติดตั้งระบบมวลหน่วงปรับค่าแบบพาสซีฟ

ศูนย์วิทยทรัพยากร
จุฬาลงกรณ์มหาวิทยาลัย

ประวัติผู้เขียนวิทยานิพนธ์

นาย ศุภลักษณ์ ตั้งจารีตสกุล เกิดวันที่ 7 มีนาคม พ.ศ. 2524 ที่จังหวัดตาก สำเร็จการศึกษาปริญญาตรีวิศวกรรมศาสตรบัณฑิต สาขาวิศวกรรมโยธา ภาควิชาวิศวกรรมโยธา คณะวิศวกรรมศาสตร์ จุฬาลงกรณ์มหาวิทยาลัย ในปีการศึกษา 2543 และเข้าศึกษาต่อในหลักสูตรวิศวกรรมศาสตรมหาบัณฑิต ที่จุฬาลงกรณ์มหาวิทยาลัย เมื่อ พ.ศ. 2544



ศูนย์วิทยทรัพยากร
จุฬาลงกรณ์มหาวิทยาลัย